

1. まえがき

線形弾性をもつ物体のある領域に分布荷重  $P$  が加わり、それに対応して変位  $w$  を生じたとすれば、 $P$  と  $w$  の間には一般に線形寫像

$$L(w) = P, \quad w = L^{-1}(P) \quad \dots \quad (1.1)$$

の関係がある。この寫像に対し

$$L(\varphi) = \lambda \varphi \quad \dots \quad (1.2)$$

を満足する  $\lambda$ ,  $\varphi$  をそれぞれ（その領域に対する）変形の固有値、固有函数と呼ぶ。本文はそれらの求め方、応用などを主に平板を例として述べる。

2. 変形の固有函数

$P$  および  $w$  は一般にその位置を示す 1 ~ 3 個のパラメーターをもつが、いま 1 個のパラメーターによって示される場合を考える。これは 11 ないし 3 の場合に適用できるが、ここでは線荷重をうける平板を例として説明を進めることにする。

微小撓みの平板（曲げ剛性  $D$ ）の撓み  $w$  と分布荷重  $P$  との間には

$$D \Delta \Delta w = P \quad \dots \quad (2.1)$$

が成立し、その逆寫像は境界条件を満足する Green 関数  $K(P, Q)$  ( $P, Q$  は平板上の 2 点) を用い

$$w_p = \int K(P, Q) p_q dS_q \quad \dots \quad (2.2)$$

と示される。いま、平板内の一曲線  $C$  に沿って働く線荷重  $p(s)$  を考え、 $C$  に沿う撓みを  $w(s)$  とすれば（ここに  $s$  は曲線  $C$  のパラメーターで通常一端からの弧長をとる），次式が成り立つ。

$$D \Delta \Delta w = \delta_C p \quad \dots \quad (2.3)$$

$$w(s_p) = \int_C K(P, Q) p(s_q) dS_q \quad \dots \quad (2.4)$$

ここに、 $\delta_C$  は

$$\delta_C = 0 \quad (C \text{ 以外 }), \quad \delta_C = \infty \quad (C \text{ 上 }), \quad \delta_C dS = ds \quad \dots \quad (2.5)$$

となるような デルタ函数である。普通、 $w$  から  $p$  を求める問題は、微分可能性さえ成り立てば、(2.1) 式から容易に求められるが、 $C$  上の  $w(s)$  を与えて  $p(s)$  を求める問題を考えると (2.3) 式を用いることが“できず”，(2.4) 式を解かなければならぬ。 (2.4) 式は曲線  $C$  の形状などに

関係なく、同一の Green 函数を用いて与えられていゝことは便利である。

(2.4)式は  $P(s)$  に關し 対称核  $K(P, Q)$  を有するオイレ型 Fredholm 型積分方程式であり、その固有値  $\lambda$ 、固有函数  $\varphi_i$  が 固有方程式

$$\varphi_i(s) = \lambda \int_C K(s, s_0) \varphi_i(s_0) ds_0 \quad (2.6)$$

から得られれば（一般に可附着無限個の直交函数系をつくる）、求めた解  $P(s)$  は収斂を前提として 広義の Fourier 展開

$$\left. \begin{aligned} P(s) &= \sum_{i=1}^{\infty} A_i \varphi_i(s) \\ A_i &= \lambda_i \int_C w(s) \varphi_i(s) ds \end{aligned} \right\} \quad (2.7)$$

として求められる。こゝに 固有函数  $\varphi_i$  は正規化されていゝものとする。固有函数は Green 函数  $K(P, Q)$  が同一であっても、積分域  $C$  によって異なることに注意する。

平板の接みにおける Green 函数は一般により複雑な形をとるため、(2.6)式を解いて固有函数の解析的表示を得ることは困難な場合が多い。しかし、次のようの場合には容易に解を得ることができる。平板は一般に 2 個のパラメーターをもつが、その一つを  $s$  に一致させることができれば、平板のパラメーターを  $(s, u)$  とし、曲線  $C$  は  $u = c$  とおくことができる。(2.2)式の固有函数は周知の振動方程式

$$D \Delta \Delta \Phi = \lambda \Phi \quad (2.8)$$

から求めることができるが、 $\Phi$  が特に分離形に

$$\Phi_{ij}(s, u) = \varphi_i(s) \psi_j(u) \quad (2.9)$$

と記すことができるのは、(2.2)式の核  $K(P, Q) = K(s_p, u_p, s_q, u_q)$  は Mercer の展開定理により

$$\begin{aligned} K(P, Q) &= \sum_{ij} \frac{1}{\lambda_{ij}} \Phi_{ij}(s_p, u_p) \Phi_{ij}(s_q, u_q) \\ &= \sum_{ij} \frac{1}{\lambda_{ij}} \varphi_i(s_p) \psi_j(u_p) \varphi_i(s_q) \psi_j(u_q) \end{aligned}$$

と記すことができるので、(2.4)式の核  $K(P, Q) = K(s_p, s_q)$  は

$$K(P, Q) = \sum_i \left[ \sum_j \frac{1}{\lambda_{ij}} \{ \psi_j(c) \}^2 \right] \varphi_i(s_p) \varphi_i(s_q) \quad (2.10)$$

とかける。 $\varphi_i(s)$  が直交条件

$$\int_C \varphi_i(s) \varphi_j(s) ds = m_i \delta_{ij} \quad (2.11)$$

を満足すれば、(2.4)式の固有函数は  $\frac{1}{\sqrt{m_i}} \varphi_i(s)$  で、その固有値は

$$\lambda_i = \frac{1}{2 - 2} \sum_j \frac{1}{\lambda_{ij}} \{ \psi_j(c) \}^2 \quad (2.12)$$

となる。このように解かれるのは単純支持矩形板など少數の場合である。また、(2.11)式は一般には満足されないことに注意する。

Green函数が知られていない場合、同じ問題を(2.3)式の固有値問題として扱うことは可能であるが、やはり解析的に固有函数を求ることは一般に困難で、工学的には次に述べるように数値的に stiffness matrix を求め、その固有ベクトルを考えるのが簡明である。

### 3. 数値解法

まず、(2.4)式を数値積分に直すため、Cをn等分し、その分割長をhとする。マトリックスで記せば

$$w = h K M p \quad \cdots \cdots \cdots \quad (3.1)$$

となり、w, p はそれぞれ積み荷ベクトル、K は flexibility matrix、M は分割長の weight を示す対角線マトリックスである。これより

$$p = \frac{1}{h} M^{-1} K^{-1} w \quad \cdots \cdots \cdots \quad (3.2)$$

を得る。Green函数が求められていなければ、求められていっても数値計算困難な場合には、(2.3)式を差分化するか finite element 法を用い、stiffness matrix を求めて計算を行う。

(2.3)式を数値化するため、平板を適当な mesh に分割する。この場合、C の形状に応じて mesh を選ぶ必要があり、ここでは C が mesh 線に一致し、N 個の分割長の中、1~n が C 上の分割長とする。

$$M' S w = h M'' p \quad \cdots \cdots \cdots \quad (3.3)$$

が得られる、ここに  $M' S$  は板全体の stiffness matrix ( $N \times N$ )、 $M'$  は  $S$  を対称化するための対角線マトリックス、 $M''$  は荷重の weight を示す対角線マトリックスで、通常は C の内点に対して 1、端点に対して  $\frac{1}{2}$ 、その他は 0 を成分としている。 $(3.3)$  式の  $w, p$  は N ベクトルであるので、これを C に関する n ベクトルに直せば、

$$S^* w = h M^* p \quad \cdots \cdots \cdots \quad (3.4)$$

$$\left. \begin{array}{l} S^* = S_1 - S_2 S_3^{-1} t \\ M^* = (M')^{-1} M'' \end{array} \right\} \quad \cdots \cdots \quad (3.5)$$

$$S = \begin{pmatrix} S_1 & S_2 \\ t S_2 & S_3 \end{pmatrix}_{N \times N} \quad \cdots \cdots \quad (3.6)$$

となり、

$$p = \frac{1}{h} (M^*)^{-1} S^* w \quad \cdots \cdots \cdots \quad (3.7)$$

が得られる。 $(3.1)$  式の大字は C に関する板全体の flexibility matrix の部分マトリックスであるのに対し、その逆マトリックス  $S^*$  は C のとり方によつて異なるものとなることに注意する。数値計算では  $w \rightarrow p$  の寫像はマトリックス、その固有函数は n 個のベクトル  $v_i$  ( $|v_i| = 1$ ) となり

$$\frac{1}{h} (M^*)^{-1} S^* = \sum_{i=1}^n \lambda_i v_i v_i^t \quad \cdots \cdots \cdots \quad (3.8)$$

となる。

#### 4. 例題

例題として 図-1 に示すように自由端までは達しない剛体梁によつて等間隔に支持された片持板が、分布荷重  $q(x)$  をうける場合、梁に生ずる反力分布を求める問題を考える。

梁のない片持板の Green 関数は求められていく<sup>2)</sup>が複雑であり、ここでは  $b = \frac{6.5}{8}a$ ,  $C = a$  の場合の数値計算例を示す。図示のように A B D E の区域を  $8 \times 4$  の mesh に分割し、(2.3) 式を差分化して (3.3) 式を求める。(3.5) 式によつて、支持梁 C 上の変形  $\psi$  に対する stiffness matrix  $S^*$  を求めれば

$$S^* = \frac{D}{h^2} \begin{pmatrix} 14.5978, -7.3529, 1.2552, 0.1031, 0.0445, 0.0234, \\ -7.3529, 12.7794, -7.5945, 1.1781, 0.0550, 0.1136, \\ 1.2552, -7.5945, 12.6751, -7.6480, 1.0969, 0.2550, \\ 0.1031, 1.1781, -7.6480, 12.6301, -7.7888, 1.5265, \\ 0.0445, 0.0550, 1.0969, -7.7888, 11.8592, -5.2344, \\ 0.0234, 0.1136, 0.2550, 1.5265, -5.2344, 3.1538, \end{pmatrix}$$

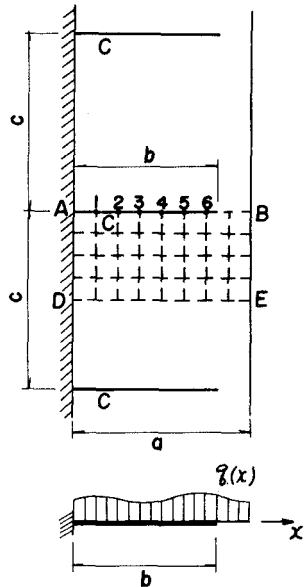


図-1

となり、その固有値、固有ベクトルは図-2 に示すとおりである。

一例として  $q(x) = q$  の等分布荷重に対しては、梁がない場合の接み  $\psi$  か

$$\psi = \frac{q h^4}{D} (14.708, 54.0, 111.375, 181.333, 259.375, 342.0, )$$

となるので、支持梁上の反力  $P$  は (3.7) 式より

$$P = q a (-0.5387, 0.3559, 0.6162, 0.6798, -0.0952, 4.0765, )$$

と得られる  $P$  の分布はかなり不規則であるので、精度をますためにには、分業をふやす他、weight matrix  $M^*$  を合理的にとることが必要であると思う。

#### 5. あとがき

以上、平板の問題を例として、変形の固有函数について説明を行つた。変形の性質を調べるために、また工学的応用面からも変形の固有函数について研究する必要があると考える。弾性床の地盤反力係数なども地盤の変形の固有値問題として考察されるべきであると思う。最後に、数値計算については大学院学生岸野佑次君の世話をなつたことを付記し感謝する。

#### 参考文献

- 1) R. Courant und D. Hilbert: Methoden der mathematischen Physik, Springer (1937)
- 2) T. J. Jaramillo: Deflections and Moments Due to a Concentrated Load on a Cantilever Plate of Infinite Length, J. Appl. Mech. vol. 17 (1950), p. 67

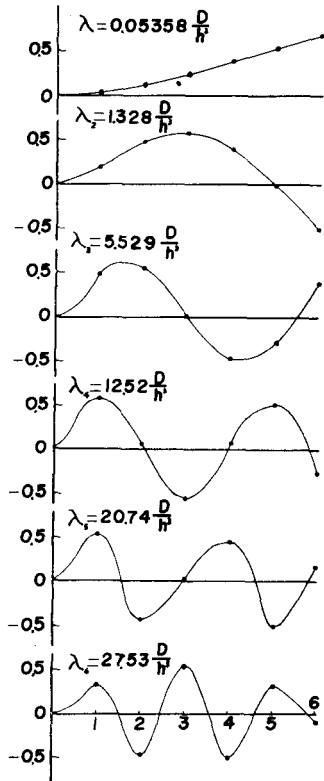


図-2